

Ю.О. Тітов ^a, М.С. Слободяник ^a, В.В. Чумак ^б, В.В. Полубінський ^б

ІЗОВАЛЕНТНЕ ЗАМІЩЕННЯ АТОМІВ В ШАРУВАТИЙ СТРУКТУРІ ТИТАНАТИВ



^a Київський національний університет ім. Тараса Шевченка

^б Житомирський державний університет ім. Івана Франка

^в Луцька філія ТзОВ Медичний коледж «Монада»

В даній роботі із застосуванням методів рентгенівської порошкової дифрактометрії визначені умови ізовалентного заміщення атомів A- і B-позицій у шаруватій пе-ровськітоподібній структурі титанатів $\text{Ba}_{n-4}\text{La}_4\text{Ti}_{n-1}\text{O}_{3n}$ ($n=4-6$) за наступними схе-мами: $\text{Ba}_{n-4}\text{La}_{4-x}\text{Ln}_x\text{Ti}_{n-1}\text{O}_{3n}$ ($\text{Ln}=\text{Pr}, \text{Nd}$) та $\text{Ba}_{n-4}\text{La}_4\text{Ti}_{n-1-x}\text{B}^{\text{IV}}_x\text{O}_{3n}$ ($\text{B}^{\text{IV}}=\text{Sn}, \text{Zr}$). Аналіз одержаних результатів показав, що при ізовалентному заміщенні атомів A-позиції розмір областей існування фаз $\text{Ba}_{n-4}\text{La}_{4-x}\text{Ln}_x\text{Ti}_{n-1}\text{O}_{3n}$ ($\text{Ln}=\text{Pr}, \text{Nd}$) суттєво залежить як від співвідношення розмірів іонів, так і від товщини (ступеня дефектності) пе-ровськітоподібних блоків шаруватої перовськітоподібної структури. Він зростає зі збільшенням числа октаедрів TiO_6 в перовськітоподібному блоці (від $x=0,1+0,3$ при $n=4$ до $x=1,8+2,3$ при $n=6$) і пропорційний радіусу іона Ln^{3+} . При перевищенні меж ізовалентного заміщення атомів лантану відбувається розклад чотири- та п'ятиша-рових титанатів $\text{Ba}_{n-4}\text{La}_{4-x}\text{Ln}_x\text{Ti}_{n-1}\text{O}_{3n}$ на $\text{Ba}(\text{La}, \text{Ln})_2\text{Ti}_3\text{O}_{10} + (\text{La}, \text{Ln})_2\text{TiO}_5$ при $n=5$ та $\text{BaTiO}_3 + \text{Ba}(\text{La}, \text{Ln})_2\text{Ti}_3\text{O}_{10} + (\text{La}, \text{Ln})_2\text{TiO}_5$ при $n=6$. В системах $\text{Ba}_{n-4}\text{La}_4\text{Ti}_{n-1-x}\text{B}^{\text{IV}}_x\text{O}_{3n}$ ($n=4-6$, $\text{B}^{\text{IV}}=\text{Sn}, \text{Zr}$) виявлено існування дуже обмежених ($x \leq 0,15$) областей фаз із шаруватою перовськітоподібною структурою. Подальше ізовалентне заміщення атомів титану на атоми олова або цирконію в титанатах $\text{Ba}_{n-4}\text{La}_4\text{Ti}_{n-1-x}\text{B}^{\text{IV}}_x\text{O}_{3n}$ при-водить до появи фаз на основі $\text{La}_2\text{B}^{\text{IV}}_2\text{O}_7$ з кубічною структурою типу пірохлора. Їх кількісний вміст зростає зі збільшенням значення x .

Ключові слова: сполуки типу $\text{A}_n\text{B}_{n-1}\text{O}_{3n}$, шарувата перовськітоподібна структура, рентгенівська порошкова дифрактометрія, ізоморфізм, тверді розчини.

Вступ

Підвищений інтерес до представників сімейства сполук з шаруватою перовськітоподіб-ною структурою (ШПС) типу $\text{A}_n\text{B}_{n-1}\text{O}_{3n}$ (($n-1$) – число шарів октаедрів BO_6 в перовськітоподіб-ному блоці) обумовлений наявністю у них комп-лексу цінних діелектричних властивостей, що відповідають вимогам, які ставляться перед ма-теріалами мікрохвильової техніки [1,2] і обумов-люють перспективи їх практичного застосуван-ня.

Одним із шляхів збільшення числа пред-ставників сімейства сполук типу $\text{A}_n\text{B}_{n-1}\text{O}_{3n}$ та регулювання їх властивостей є ізоморфні замі-щення атомів в A- і B-позиціях їх ШПС на ато-ми з іншими іонними радіусами, поляризацій-ними властивостями та потенціалами іонізації.

Відомості про ізоморфні заміщення в ШПС

сполук типу $\text{A}_n\text{B}_{n-1}\text{O}_{3n}$ в літературі обмежені і стосуються в основному взаємозаміщень найбільш характерних для сполук даного типу елементів ($\text{A}=\text{Ba}, \text{Sr}, \text{La}, \text{B}=\text{Ti}, \text{Nb}, \text{Ta}$) [1–5]. В той же час найбільшого впливу на властивості цих сполук можна очікувати від входження в їх ШПС нетипових для даного сімейства елементів, зокрема таких як $\text{Pr} - \text{Lu}, \text{Sn}, \text{Zr}$. На сьогодні кількість відомих титанатів $\text{A}_n\text{Ti}_{n-1}\text{O}_{3n}$ з ШПС дуже обмежена і включає лише лантанумісні титанати складу $\text{A}^{\text{II}}_{n-4}\text{La}_4\text{Ti}_{n-1}\text{O}_{3n}$ ($\text{A}^{\text{II}}=\text{Ba}, \text{Sr}, \text{Ca}, n=4-6$) [1,2], а можливість ізоморфних заміщень атомів в їх ШПС досі не досліджена.

Метою даної роботи являється встановлен-ня можливості та визначення меж ізовалентно-го заміщення атомів La і Ti в ШПС титанатів $\text{Ba}_{n-4}\text{La}_4\text{Ti}_{n-1}\text{O}_{3n}$ ($n=4-6$) відповідно на атоми інших РЗЕ та атоми Sn або Zr.

Методика експерименту

Полікристалічні зразки валового складу $Ba_{n-4}La_{4-x}Ln_xTi_{n-1}O_{3n}$ та $Ba_{n-4}La_4Ti_{n-1-x}B^{IV}xO_{3n}$ синтезували шляхом термообробки (1570 К, 3 год) попередньо зневодненої (373 К) шихти спільното-осаджених гідроксикарбонатів (СОГК) (Вамісні зразки), або гідроксидів (СОГ). Дослідження методами диференціальної термогравіметрії та порошкової рентгенівської дифракції послідовностей фазових перетворень при синтезі титанатів $Ba_{n-4}La_4Ti_{n-1}O_{3n}$ ($n=4-6$) з шихт СОГ та СОГК [6,7] показало, що використання таких умов синтезу забезпечує повноту взаємодії компонентів. Як вихідні у роботі використані водні розчини $Ln(NO_3)_3$, $Ba(CH_3COO)_2$, $TiCl_4$, $ZrCl_4$, $SnCl_4$ марок "х.ч." і "ч.д.а.". Дифрактограми полікристалічних зразків записані на дифрактометрі ДРОН-3 на $Cu K_\alpha$ випромінюванні зі швидкістю 1 град/хв. Інтервал кутів зйомки $2\theta=18-78^\circ$.

Результатами та їх обговорення

Визначення меж ізовалентного заміщення атомів лантану в тришарових титанатах здійснено в системах $La_{4-x}Ln_xTi_3O_{12}$ ($Ln=Pr, Nd$). Результати рентгенофазового аналізу кристалічних продуктів термообробки шихти СОГ із співвідношеннями $La:Ln:Ti=(4-x):x:3$ ($Ln=Pr, Nd$) показали, що в обох системах відбувається утворення трьох типів фазових областей: дуже обмеженої області твердих розчинів $(La,Ln)_4Ti_3O_{12}$ із тришаровою ШПС сполук сімейства $A_nB_{n-1}O_{3n}$ (таблиця), широкої двофазної області, яка містить фазу на основі $(La,Ln)_2Ti_2O_7$ із чотиришаровою ШПС сполук сімейства $A_nB_nO_{3n+2}$ та фазу на основі $(La,Ln)_2TiO_5$ а також вузької перехідної області між ними, яка містить усі зазначені фази.

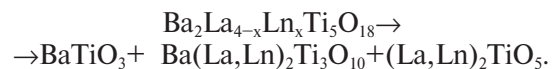
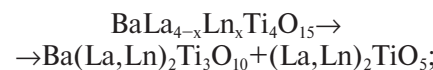
Як показано в [7], механізм утворення тришарового $La_4Ti_3O_{12}$ із шихти СОГ включає стадії „вибухової” кристалізації при 1113 К дефектного перовськіту $LaTi_{0,75}\square_{0,25}O_3$, його подальшого розкладу на проміжні продукти $La_2Ti_2O_7$ і La_2TiO_5 та їх взаємодію при $T>1370$ К з утворенням $La_4Ti_3O_{12}$. Аналогічний $((La,Ln)_2Ti_2O_7+(La,Ln)_2TiO_5)$ склад двофазної області в зразках $La_{4-x}Ln_xTi_3O_{12}$ ($Ln=Pr, Nd$) давав підстави для припущення щодо можливості розширення області тришарових фаз типу $A_nB_{n-1}O_{3n}$ при високих температурах. Проте, переплавка неоднофазних зразків валового складу $La_{4-x}Ln_xTi_3O_{12}$ ($Ln=Pr, Nd$) в полу-ї киснево-метанового пальника з наступним загартуванням розплаву на холодній підложці не привела до зміни їх фазового складу, що дає підстави для висновку про відсутність

тришарових сполук складу $Ln_4Ti_3O_{12}$ ($Ln=Pr, Nd$).

Дослідження можливості ізовалентного заміщення атомів лантану в ШПС $Ba_{n-4}La_4Ti_{n-1}O_{3n}$ було здійснено на прикладі фаз складу $Ba_{n-4}La_{4-x}Ln_xTi_{n-1}O_{3n}$ ($Ln=Pr, Nd, n=5$ та 6). Рентгенофазовий аналіз кристалічних продуктів термообробки шихти СОГК із співвідношеннями $Ba:La:Ln:Ti=(n-4):(4-x):x:(n-1)$ показав, що поява в А-позиції ШПС титанатів $Ba_{n-4}La_4Ti_{n-1}O_{3n}$ (з $n>4$) великих атомів барію досить суттєво розширює область існування ізовалентнозаміщених фаз $Ba_{n-4}La_{4-x}Ln_xTi_{n-1}O_{3n}$ ($n=5$ та 6) з ШПС у порівнянні із такою для $La_{4-x}Ln_xTi_3O_{12}$ ($n=4$) (табл. 1, рис. 1).

Дифрактограми фаз $BaLa_{4-x}Ln_xTi_4O_{15}$ і $Ba_2La_{4-x}Ln_xTi_5O_{18}$ з ШПС аналогічні таким для відповідних вихідних індивідуальних сполук $BaLa_4Ti_4O_{15}$ (пр. гр. Р-3c1 [8]) і $Ba_2La_4Ti_5O_{18}$ (пр. гр. R-3 [9]) і проіндексовані у тригональній сингонії. Залежності об’ємів елементарних комірок фаз $BaLa_{4-x}Ln_xTi_4O_{15}$ і $Ba_2La_{4-x}Ln_xTi_5O_{18}$ з ШПС від складу мають лінійний характер (рис. 1), що дає підстави розглядати їх як обмежені ряди твердих розчинів із чотири- та п’ятишаровою ШПС.

При перевищенні меж ізовалентного заміщення розклад чотири- та п’ятишарової ШПС титанатів $Ba_{n-4}La_{4-x}Ln_xTi_{n-1}O_{3n}$ відбувається за наступними схемами:



Згідно з [6], стадійність механізмів формування ШПС титанатів $Ba_{n-4}La_4Ti_{n-1}O_{3n}$ ($n=4-6$) із шихти СОГ та СОГК не залежить від товщини первовськітоподібних блоків і типу осаджува-ча і включає стадії утворення дефектного перовськіту, його розкладу на проміжні продукти та їх наступної взаємодії з утворенням $Ba_{n-4}La_4Ti_{n-1}O_{3n}$.

Присутність фази Діона-Якобсона $Ba(La, Ln)_2Ti_3O_{10}$ в продуктах розкладу ШПС титанатів $Ba_{n-4}La_{4-x}Ln_xTi_{n-1}O_{3n}$ ($n=5-6$) очевидно обумовлена особливостями механізму синтезу $Ba_{n-4}La_4Ti_{n-1}O_{3n}$ ($n=5-6$) [6], зокрема дещо іншим (порівняно з $La_4Ti_3O_{12}$) складом проміжних продуктів розкладу дефектного перовськіту: $(La, Ln)_2Ti_2O_7 + (La, Ln)_2TiO_5 + (n-4)BaTiO_3$. Саме наявність $BaTiO_3$ і призводить до утворення $Ba(La, Ln)_2Ti_3O_{10}$ при перевищенні меж ізовалентного заміщення атомів лантану в титанатах

$Ba_{n-4}La_{4-x}Ln_xTi_{n-1}O_{3n}$ ($n=5-6$):



Збільшення різниці у розмірах між атомом La та атомами Ln зменшує розміри областей фаз $Ba_{n-4}La_{4-x}Ln_xTi_{n-1}O_{3n}$ із ШПС (таблиця). В той же час, зростання вмісту атомів барію в ШПС $Ba_{n-4}La_{4-x}Ln_xTi_{n-1}O_{3n}$ ($n=5-6$), яке відбувається при збільшенні числа (n) шарів октаедрів TiO_6 в перовськітоподібних блоках, призводить до зростання ізоморфної ємності ШПС $Ba_{n-4}La_{4-x}Ln_xTi_{n-1}O_{3n}$ (рис. 2).

Межі ізовалентного заміщення атомів A- і B-позицій в ШПС $Ba_{n-4}La_4Ti_{n-1}O_{3n}$

Ізовалентне заміщення атомів		Значення n	Значення x
тип А	$La_{4-x}Pr_xTi_3O_{12}$	4	$0 \leq x < (0,25 \div 0,3)$
	$La_{4-x}Nd_xTi_3O_{12}$	4	$0 \leq x < (0,1 \div 0,15)$
	$BaLa_{4-x}Pr_xTi_4O_{15}$	5	$0 \leq x \leq 2,1$
	$BaLa_{4-x}Nd_xTi_4O_{15}$	5	$0 \leq x \leq 1,55$
	$Ba_2La_{4-x}Pr_xTi_5O_{18}$	6	$0 \leq x \leq 2,3$
	$Ba_2La_{4-x}Nd_xTi_5O_{18}$	6	$0 \leq x \leq 1,8$
тип В	$La_4Ti_{3-x}Sn_xO_{12}$	4	$x < 0,1$
	$La_4Ti_{3-x}Zr_xO_{12}$	4	$0 \leq x \leq 0,15$
	$BaLa_4Ti_{4-x}Sn_xO_{15}$	5	$x < 0,1$
	$BaLa_4Ti_{4-x}Zr_xO_{15}$	5	$0 \leq x \leq 0,15$
	$Ba_2La_4Ti_{5-x}Sn_xO_{18}$	6	$x < 0,1$
	$Ba_2La_4Ti_{5-x}Zr_xO_{18}$	6	$x < (0,1 \div 0,15)$

Примітки: \leq – межа визначена із залежностей ($a, c, V_{\text{ел.ком.}} = f(x)$); $<$ – межа визначена за даними рентгенофазового аналізу (РФА); (\div) – інтервал значень x в якому по даним рентгенофазового аналізу знаходиться межа ізовалентного заміщення.

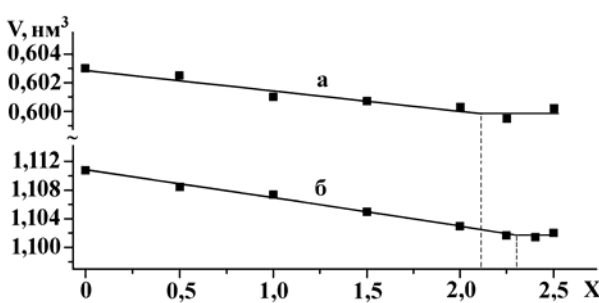


Рис. 1. Залежності об'єму елементарних комірок фаз із ШПС складу $BaLa_{4-x}Pr_xTi_4O_{15}$ (а) та $Ba_2La_{4-x}Pr_xTi_5O_{18}$ (б) від ступеня заміщення атомів лантану (значення x)

Одержані дані свідчать що “дорощування” перовськітом $BaTiO_3$ числа шарів октаедрів TiO_6 в ШПС $La_4Ti_3O_{12}$ підвищує її стабільність. Найбільш ймовірним фактором, який обумовлює зростання стабільності ШПС є зменшення дефектності ШПС сполук типу $A_nB_{n-1}O_{3n}$ при збільшенні числа шарів октаедрів BO_6 в блоці. Так, в перовськітоподібних блоках ШПС кількість вакантних оксигенооктаедрических позицій становить для $La_4Ti_3O_{12}$ ($n=4$) 25%, для $BaLa_4Ti_4O_{15}$ ($n=5$) 20%, а для $Ba_2La_4Ti_5O_{18}$ ($n=6$) 16,7%.

Дослідження умов ізовалентного заміщення атомів титану на атоми цирконію або олова в ШПС титанатів $Ba_{n-4}La_4Ti_{n-1}O_{3n}$ ($n=4-6$) за типом $Ba_{n-4}La_4Ti_{n-1-x}B^{IV}xO_{3n}$ ($B^{IV}=Sn, Zr$) показало існування дуже обмежених ($x \leq 0,15$) областей фаз із ШПС (таблиця, рис. 3).

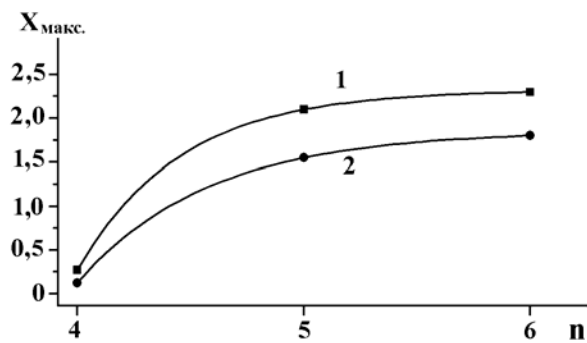


Рис. 2. Залежності величини максимального ступеня заміщення ($x_{\text{макс.}}$) атомів лантану в ШПС титанатів $Ba_{n-4}La_{4-x}Ln_xTi_{n-1}O_{3n}$ від числа ($n=4-6$) шарів октаедрів TiO_6 в перовськітоподібному блоку ШПС
(1 – Ln=Pr, 2 – Ln=Nd)

Дифрактограми зразків фаз $La_4Ti_{3-x}Zr_xO_{12}$ та $BaLa_4Ti_{4-x}Zr_xO_{15}$ з ШПС подібні відповідно до дифрактограм тришарового $La_4Ti_3O_{12}$ (пр. гр. R-3 [10]) та чотиришарового $BaLa_4Ti_4O_{15}$ (пр. гр. P-3c1 [8]) і проіндексовані в тригональній сингонії. Лінійний хід залежностей об'ємів елементарних комірок фаз $La_4Ti_{3-x}Zr_xO_{12}$ та $BaLa_4Ti_{4-x}Zr_xO_{15}$ від ступеня заміщення атомів титану в їх ШПС відповідає закону Вегарда (рис. 3), що дозволяє розглядати їх як обмежені ряди твердих розчинів з три- і чотиришаровою ШПС.

Подальше ізовалентне заміщення атомів титану в титанатах $Ba_{n-4}La_4Ti_{n-1-x}B^{IV}xO_{3n}$ призводить до появи другої фази на основі $La_2B^{IV}O_7$ ($B^{IV}=Sn, Zr$) з кубічною структурою типу пірохлора. Її кількісний вміст в двофазних зразках зростає зі збільшенням значення x. Слід відзна-

чили, що на відміну від вузької області з ШПС в титанатах $Ba_{n-4}La_4Ti_{n-1-x}B^{IV}_xO_{3n}$ ($B^{IV}=Sn, Zr$), відомий ціла низка сполук складу $A^{II}_n(B^V, B^{IV})_{n-1}O_{3n}$ ($A^{II}=Ba, Sr [1,2,11-13]$), а також $Ba_4LaSnNb_3O_{15}$ [14], в яких 20–25% В-позицій ШПС зайняті атомами Sn або Zr, а решта атомами Nb або Ta. Вірогідними причинами їх існування є, співвідношення розмірів атомів у В-позиції ШПС, зокрема значно менша (від 30 до 40% [15]) різниця у розмірах між атомами Sn і Zr та Nb і Ta, ніж між Sn і Zr та Ti.

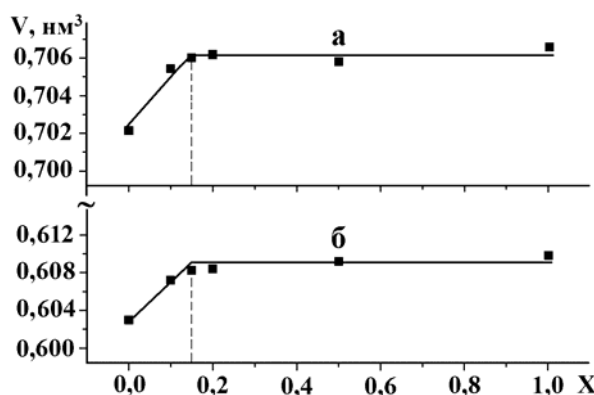


Рис. 3. Залежності об'єму елементарних комірок фаз із ШПС складу $La_4Ti_{3-x}Zr_xO_{12}$ (а) та $BaLa_4Ti_{4-x}Zr_xO_{15}$ (б) від ступеня заміщення атомів титану (значення x)

Висновки

Визначення умов ізовалентного заміщення атомів А- і В-позицій у ШПС титанатів $Ba_{n-4}La_4Ti_{n-1}O_{3n}$ ($n=4-6$) показало, що в системах $Ba_{n-4}La_{4-x}Ln_xTi_{n-1}O_{3n}$ ($Ln=Pr, Nd$) величина області фаз з ШПС суттєво залежить, крім розмірного фактора, також від товщини (ступеня дефектності) перовськітоподібних блоків. Її розмір зростає зі збільшенням товщини перовськітоподібного блока (від $x=0,1\div0,3$ при $n=4$ до $x=1,8\div2,3$ при $n=6$) і пропорційний радіуса атона Ln . В системах $Ba_{n-4}La_4Ti_{n-1-x}B^{IV}_xO_{3n}$ ($B^{IV}=Sn, Zr$) існують дуже обмежені ($x\leq0,15$) області фаз із ШПС. Одержані результати можуть бути використані для наступного виявлення взаємозв'язків між складом та мікрохвильовими властивостями матеріалів на основі титанатів $Ba_{n-4}La_4Ti_{n-1}O_{3n}$ ($n=4-6$) з ШПС.

СПИСОК ЛІТЕРАТУРИ

1. Sebastian M.T. Dielectric Materials for Wireless Communication. – Oxford: Elsevier, 2008. – 671 p.
2. Lichtenberg F., Herrnberger A., Wiedenmann K. Synthesis, structural, magnetic and transport properties of layered perovskite-related titanates, niobates and tantalates of the type $A_nB_nO_{3n+2}$, $A'A_{k-1}B_kO_{3k+1}$ and $A_mB_{m-1}O_{3m}$ // Prog. Solid State Chem. – 2008. – Vol.36. – №. 4. – P.253-387.
3. Microwave dielectric properties of $Ba_4LaTiNb_{3-x}Ta_xO_{15}$ ceramics / Gui D., Zhang H., Fang L., Xue L. // J. Mater. Sci. Mater. Electron. – 2008. – Vol.19. – P.543-546.
4. Structure and microwave dielectric property relations in $(Ba_{1-x}Sr_x)_5Nb_4O_{15}$ system / Lee C.-T., Ou C.-C., Lin Y.-C., Huang C.-Y., Su C.-Y. // J. Eur. Ceram. Soc. – 2007. – Vol.27. – P.2273-2280.
5. Structural and microwave dielectric properties of $Ba_{5-x}La_xTi_xNb_{4-x}O_{15}$ ceramics / Fang L., Men S.S., Zhang H., Liu Z.Q., Liu H.F. // J. Electroceram. – 2008. – Vol.21. – P.137-140.
6. Titov Yu.A., Slobodyanik N.S., Polubinskii V.V. Mechanisms for the formation of laminar titanates $A^{II}_{n-4}La_4Ti_{n-1}O_{3n}$ from coprecipitated component systems // Theor. Exp. Chem. – 2012. – Vol.48. – №. 3. – P.189-193.
7. Mechanisms for the formation of layered $A_4B_3O_{12}$ compounds from coprecipitated hydroxocarbonate and hydroxide systems / Titov Yu.A., Slobodyanik N.S., Polubinskii V.V., Chumak V.V. // Theor. Exp. Chem. – 2012. – Vol.47. – №. 6. – P.394-398.
8. Crystal structure of $BaLa_4Ti_4O_{15}$, member n=5 of the homologous series $(Ba,La)_nTi_{n-1}O_{3n}$ of cation-deficient perovskite-related compounds / Harre N., Mercurio D., Trolliard G., Frit B. // Mater. Res. Bull. – 1998. – Vol.33. – №. 10. – P.1537-1548.
9. Crystal structure of $Ba_2La_4Ti_5O_{18}$, member n=6 of the homologous series $(Ba,La)_nTi_{n-1}O_{3n}$ of cation deficient perovskite-related compounds / Harre N., Mercurio D., Trolliard G., Frit B. // Eur. J. Solid State Inorg. Chem. – 1998. – Vol.35. – №. 1. – P.77-90.
10. Cation-deficient perovskite-related compounds $(Ba,La)_nTi_{n-1}O_{3n}$ (n=4, 5, and 6): a Rietveld refinement from neutron powder diffraction data / Teneze N., Mercurio D., Trolliard G., Frit B. // Mater. Res. Bull. – 2000. – Vol. 35. – P.1603-1614.
11. Synthesis and crystal structure of the $A_6B_5O_{18}$ perovskite-like compounds / Polubinskii V.V., Titov Yu.A., Belyavina N.M., Markiv V.Ya., Slobodyanik M.S., Chumak V.V., Nakonechna O.I. // Solid State Sci. – 2014. – Vol.29. – P.1-5.
12. Crystal structure of the $Sr_6Nb_4ZrO_{18}$ perovskite-like compound / Titov Y., Belyavina N., Slobodyanik M., Polubinskii V., Nakonechna O. // French-Ukr. J. Chem. – 2015. – Vol.3. – №. 2. – P.65-71.
13. Синтез та кристалічна структура ніобатостанату та танталостанату барію / Тітов Ю.О., Белявина Н.М., Марків В.Я., Слободянік М.С., Полубінський В.В. // Доповіді НАН України. – 2013. – № 4. – С.130-134.
14. Preparation, structure and dielectric properties of $Ba_4LaMNb_3O_{15}$ ($M=Ti, Sn$) ceramics / Fang L., Zhang H., Huang T.H., Yuan R.Z., Dronskowski R. // Mater. Res. Bull. – 2004. –

Vol.39. – P.1649-1654.

15. Shannon R.D. Revised effective ionic radii and systematic studies of interatomic distances in halides and chalcogenides // Acta Crystallogr. – 1976. – Vol.A32. – P.751-767.

Надійшла до редакції 13.10.2017

ISOVALENT SUBSTITUTION OF ATOMS IN LAYERED STRUCTURE OF TITANATES $Ba_{n-4}La_4Ti_{n-1}O_{3n}$ ($n=4-6$)

Y.A. Titov^a, M.S. Slobodyanik^a, V.V. Chumak^b, V.V. Polybinskii^c

^a Taras Shevchenko National University of Kyiv, Kyiv, Ukraine

^b Zhytomyr Ivan Franko State University, Zhytomyr, Ukraine

^c Lutsk Branch of the Medical College «Monada» LLC, Lutsk, Ukraine

In this work, the conditions of isovalent substitution of atoms in A- and B-positions in slab perovskite-like structure of $Ba_{n-4}La_4Ti_{n-1}O_{3n}$ ($n=4-6$) titanates with the formation of $Ba_{n-4}La_{4-x}Ln_xTi_{n-1}O_{3n}$ ($Ln=Pr, Nd$) and $Ba_{n-4}La_4Ti_{n-1-x}B''_xO_{3n}$ ($B''=Sn, Zr$) types have determined using the X-ray powder diffraction methods. The analysis of the obtained results revealed that in case of the isovalent substitution of atoms in A-positions the extent of existence domains of $Ba_{n-4}La_{4-x}Ln_xTi_{n-1}O_{3n}$ ($Ln=Pr, Nd$) phases considerably depends on both the ratio of ions sizes and the thickness (degree of imperfection) of perovskite-like blocks of slab perovskite-like structure. It increases with an increase in the number of TiO_6 octahedra in perovskite-like block (from $x=0.1\pm 0.3$ at $n=4$ up to $x=1.8\pm 2.3$ at $n=6$) and is proportional to the radius of Ln^{3+} ion. Outside the limits of isovalent substitution of lanthanum atoms, the decomposition of four- and five-slab $Ba_{n-4}La_{4-x}Ln_xTi_{n-1}O_{3n}$ titanates occurs with the formation of $Ba(La,Ln)_2Ti_3O_{10}+(La,Ln)_2TiO_5$ at $n=5$ or $BaTiO_3+(Ba(La,Ln))_2Ti_3O_{10}+(La,Ln)_2TiO_5$ at $n=6$. The existence of very limited ($xJ0.15$) areas of phases with slab perovskite-like structure has been revealed in $Ba_{n-4}La_4Ti_{n-1-x}B''_xO_{3n}$ ($n=4-6$, $B''=Sn, Zr$) systems. A further isovalent substitution of titanium atoms with atoms of tin or zirconium in $Ba_{n-4}La_4Ti_{n-1-x}B''_xO_{3n}$ titanates results in the occurrence of phases based on $La_2B''_2O_7$ with cubic structure of chalcolamprite type. Their quantitative content grows with an increase in value of x .

Keywords: compounds of $A_nB_{n-1}O_{3n}$ type; slab perovskite-like structure; X-ray powder diffraction; isomorphism; solid solutions.

REFERENCES

1. Sebastian M.T., Dielectric materials for wireless communication. Elsevier, Oxford, 2008. 671 p.
2. Lichtenberg F., Herrnberge A., Wiedenmann K. Synthesis, structural, magnetic and transport properties of layered perovskite-related titanates, niobates and tantalates of the type $A_nB_nO_{3n+2}$, $A'_{n-1}B_kO_{3k+1}$ and $A_mB_{m-1}O_{3m}$. *Progress in Solid State Chemistry*, 2008, vol. 36, no. 4, pp. 253-387.
3. Gui D., Zhang H., Fang L., Xue L. Microwave dielectric properties of $Ba_4LaTiNb_{3-x}Ta_xO_{15}$ ceramics. *Journal of Materials Science: Materials in Electronics*, 2008, vol. 19, pp. 543-546.
4. Lee C.-T., Ou C.-C., Lin Y.-C., Huang C.-Y., Su C.-Y. Structure and microwave dielectric property relations in $(Ba_{1-x}Sr_x)_5Nb_4O_{15}$ system. *Journal of the European Ceramic Society*, 2007, vol. 27, pp. 2273-2280.
5. Fang L., Men S.S., Zhang H., Liu Z.Q., Liu H.F. Structural and microwave dielectric properties of $Ba_{5-x}La_xTi_xNb_{4-x}O_{15}$ ceramics. *Journal of Electroceramics*, 2008, vol. 21, pp. 137-140.
6. Titov Yu.A., Slobodyanik N.S., Polubinskii V.V. Mechanisms for the formation of laminar titanates $A''_{n-4}La_4Ti_{n-1}O_{3n}$ from coprecipitated component systems. *Theoretical and Experimental Chemistry*, 2012, vol. 48, no. 3, pp. 189-193.
7. Titov Yu.A., Slobodyanik N.S., Polubinskii V.V., Chumak V.V. Mechanisms for the formation of layered $A_4B_3O_{12}$ compounds from coprecipitated hydroxocarbonate and hydroxide systems. *Theoretical and Experimental Chemistry*, 2012, vol. 47, no. 6, pp. 394-398.
8. Harre N., Mercurio D., Trolliard G., Frit B. Crystal structure of $BaLa_4Ti_4O_{15}$, member n=5 of the homologous series $(Ba, La)_nTi_{n-1}O_{3n}$ of cation-deficient perovskite-related compounds. *Materials Research Bulletin*, 1998, vol. 33, no. 10, pp. 1537-1548.
9. Harre N., Mercurio D., Trolliard G., Frit B. Crystal structure of $Ba_2La_4Ti_5O_{18}$, member n=6 of the homologous series $(Ba, La)_nTi_{n-1}O_{3n}$ of cation deficient perovskite-related compounds. *European Journal of Solid State and Inorganic Chemistry*, 1998, vol. 35, no. 1, pp. 77-90.
10. Teneze N., Mercurio D., Trolliard G., Frit B. Cation-deficient perovskite-related compounds $(Ba, La)_nTi_{n-1}O_{3n}$ (n=4, 5, and 6): a Rietveld refinement from neutron powder diffraction data. *Materials Research Bulletin*, 2000, vol. 35, pp. 1603-1614.
11. Polubinskii V.V., Titov Y.A., Belyavina N.M., Markiv V.Ya., Slobodyanik M.S., Chumak V.V., Nakonechna O.I. Synthesis and crystal structure of the $A_6B_5O_{18}$ perovskite-like compounds. *Solid State Sciences*, 2014, vol. 29, pp. 1-5.
12. Titov Y., Belyavina N., Slobodyanik M., Polubinskii V., Nakonechna O. Crystal structure of the $Sr_6Nb_4ZrO_{18}$ perovskite-like compound. *French-Ukrainian Journal of Chemistry*, 2015, vol. 3, no. 2, pp. 65-71.
13. Titov Y.A., Belyavina N.M., Markiv V.Ya., Slobodyanik M.S., Polubinskii V.V. Sintez i krystalichna struktura niobatostannata ta tantalatostannata bariya [Synthesis and crystal structure of barium niobatostannate and tantalatostannate]. *Dopovidi Natsionalnoi Akademii Nauk Ukrayny*, 2013, no. 4, pp. 130-134. (in Ukrainian).
14. Fang L., Zhang H., Huang T.H., Yuan R.Z., Dronskowski R. Preparation, structure and dielectric properties of $Ba_4LaMNb_3O_{15}$ ($M=Ti, Sn$) ceramics. *Materials Research Bulletin*, 2004, vol. 39, pp. 1649-1654.
15. Shannon R.D. Revised effective ionic radii and systematic studies of interatomic distances in halides and chalcogenides. *Acta Crystallographica*, 1976, vol. A32, pp. 751-767.